

土の弾性係数及ひずみ降伏値に関するレオロジー的考察

東北大学大学院 正員 小川正二

土の弾性係数、降伏値等を一般に行われてひずみ降伏値を求めることが非常にむづかしいが、継返し応力下で供試体に任意の大きさの応力を繰返して載荷し、その供試体の圧縮試験の結果をレオロジー的模型に基づいて考察すると弹性係数および降伏値を求めることが出来た。

レオロジー的模型

解析を簡単にするために継続供試体を図-1に示すような模型によつて考えた。この模型を $\sigma = \sigma_0 + \eta_1 \dot{\sigma}$ 一定底力速度で圧縮すると応力とヒズミの関係は次式のようになつた。

$$\epsilon = \frac{\dot{\sigma}}{E} \left(\frac{\sigma}{\delta} - \frac{\eta_1}{E} \right) + \frac{\eta_1 \dot{\sigma}}{E^2} e^{-\frac{E}{\eta_2} \cdot \frac{\sigma}{\delta}} + \frac{\sigma^2}{2\eta_2 E} + \left[\frac{1}{\eta_3 \delta (n+1)} (\sigma - \sigma_y)^{n+1} \right] \quad (1)$$

(1)式を時間 t で微分すると、 $\sigma = \sigma_0 + \eta_1 \dot{\sigma}$ であるから、

$$\frac{d\epsilon}{dt} = \frac{\dot{\sigma}}{E} \left(1 - e^{-\frac{E}{\eta_2} \cdot \frac{\sigma}{\delta}} \right) + \frac{\sigma}{\eta_2} + \left[\frac{1}{\eta_3 \delta} (\sigma - \sigma_y)^n \right] \quad (2)$$

となる。 (1), (2) 式に於いて、 σ_y は降伏応力を表わし、 [] 内に降伏が生じた後に用いたものとする。

(2)式に、 1) $n=2$, $\eta_2 = \text{一定}$ 2) $n=1$
 $\eta_2 = \text{一定}$, 3) $n=1$, $\eta_2 = \infty$ を代入する

と、各々、図-2に示すような曲線が得られる。

試験結果

試験に用いた2種類の粘土(A, B), 粘土Bと砂と乾燥重量で4:1, 1:1の割合で混和した試料を用いた。

繰返し応力を受けて継続供試体の一軸圧縮試験よりヒズミ速度 $(d\epsilon/dt)$ と軸応力

(σ) の関係を求めると図-3の如くなり、図-2の $n=1$, $\eta_2 = \infty$ の曲線と非常に良く類似した型を示している。又、繰返し応力を受けて n が1に近づくこともわかる。従つて、この曲線の折衷オレオロジー模型に於いて降伏点を示し、降伏点以前の水平部の縦座標は σ/E を表わすことができる。これらの関係から任意の大きさの繰返し応力を受けて土の降伏応力(σ_y), 弹性係数(E)を求めることができる。

① 繰返し応力度が土の疲労限界以下であるならば、降伏応力は繰返し応力の載荷回数と共に増大する(図-4)。この関係は含水比・密度・試料が異なる場合に十分なが、砂質土の試料ほど降伏値は小さくなる。

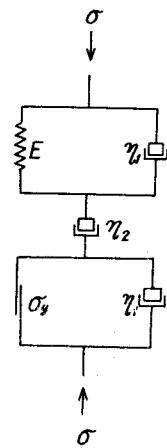


図-1 レオロジー的模型

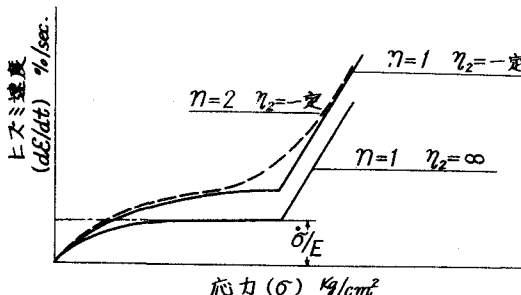


図-2 レオロジー的模型によるヒズミ速度と応力の関係

図-4 よりの関係より、降伏応力 (σ_y) と載荷回数 (N) の間に

$$\sigma_y = a e^{f(N)} \quad (3)$$

なる関係のあることがわかる。従って、(3)式に $N = 0$ を代入すれば繰返し応力を受けた土の降伏応力を推定することができる。

② 又、繰返し応力が疲劳限界以下の場合には、繰返し応力度の増大とともに降伏応力も高まり、繰返し応力度が疲劳限界以上になると試料内部に破壊が生じ、降伏応力は低下することがわかった。

③ 一般に、弾性係数と載荷回数とともに増大するが、その増加の割合は繰返し応力度の小さなほど著しく、10万回載荷すると、弾性係数と繰返し応力度の小さなほど大きくなる。

④ 又、含水比の低いほどその値が大きく、一軸圧縮強度の約65%の繰返し応力を受けた供試体について比較してみると密度の高いほど大きいことがわかる(図-5)。

⑤ 更に、粘土Bと混合土の試験結果より、弾性係数と砂含有量の多いほど小さくなることがあるが、その差は非常に少ないのであることがわかる。

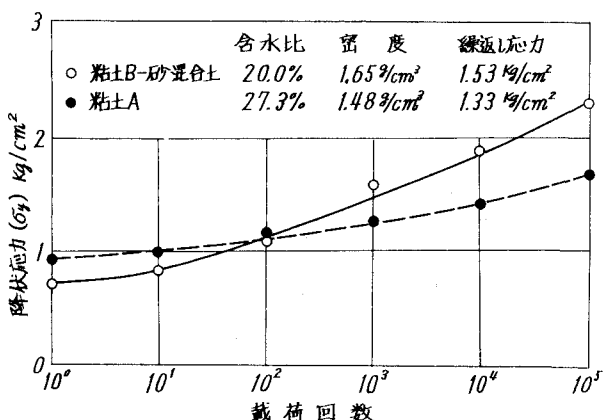


図-4 降伏応力への載荷回数の影響

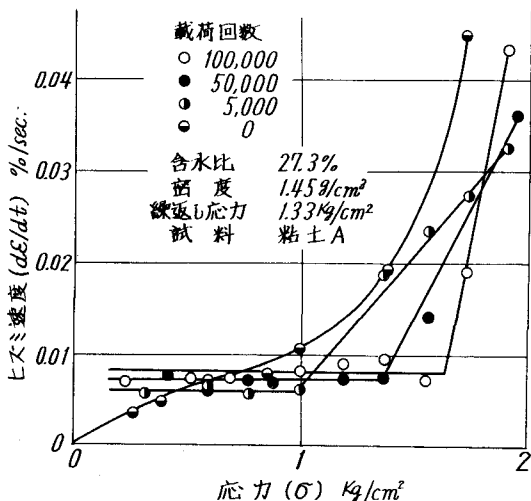


図-3 一軸圧縮試験におけるヒステリシス速度と応力の関係

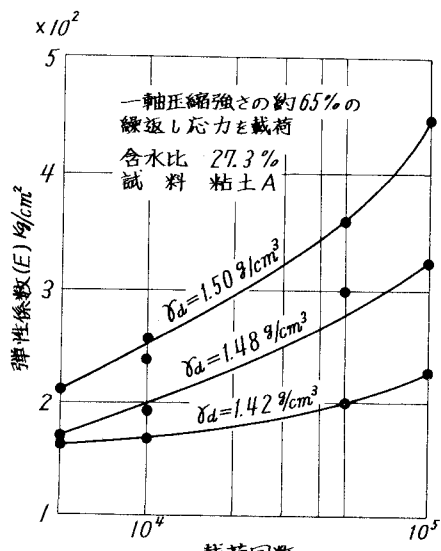


図 5 弹性変位率への載荷回数及び密度の影響